

· 基础研究 ·

p53 信号通路在半枝莲总黄酮预处理大鼠心肌缺血再灌注损伤中的作用

于森, 李铁成*

(锦州医科大学附属第三医院麻醉科, 辽宁 锦州 121000)

【摘要】目的 探讨半枝莲总黄酮(SBF)对心肌缺血/再灌注损伤(MI/RI)模型的保护作用及相关机制。**方法** 将50只SD雌性大鼠按照随机数表法随机分为5组,每组10只:(1)假手术组;(2)MI/RI组;(3)低剂量组(SBF 30 mg/kg);(4)中剂量组(SBF 75 mg/kg);(5)高剂量组(SBF 140 mg/kg)。采用冠状动脉前降支结扎法制备MI/RI模型。酶联免疫吸附试验测定血清中乳酸脱氢酶(LDH)和肌酸激酶同工酶(CK-MB)含量。NBT染色测定心肌梗死面积。Western blot测定p53、半胱氨酸天冬氨酸蛋白水解酶-3(Caspase-3)及B淋巴细胞瘤-2蛋白(Bcl-2)表达量。原位末端标记法(TUNEL)检测心肌细胞凋亡率。采用SPSS 25.0软件行统计分析。采用单因素方差分析进行组间比较。**结果** 与MI/RI组比较,低、中、高组的LDH[(807.51±30.74)和(724.24±44.88)和(568.63±40.49)和(448.52±49.67)U/L]、CK-MB[(106.58±7.99)和(92.45±4.88)和(79.47±6.71)和(70.51±5.88)U/L]含量、p53[(1.19±0.05)和(1.06±0.03)和(1.02±0.03)和(0.77±0.03)]、Caspase-3[(1.50±0.05)和(1.01±0.05)和(0.96±0.04)和(0.41±0.04)]表达量、心肌梗死面积(37.21%和27.45%和16.08%和8.00%)、心肌细胞凋亡率(43.82%和35.91%和32.01%和22.67%)显著下降($P<0.01$ 或 $P<0.05$)；Bcl-2[(1.02±0.04)和(1.37±0.08)和(1.42±0.04)和(1.62±0.04)]表达显著上升($P<0.01$)。**结论** SBF预处理可抑制通过p53信号通路诱导的细胞凋亡途径,对缺血再灌注损伤的心肌起到保护作用。

【关键词】 心肌再灌注损伤;半枝莲总黄酮;p53;细胞凋亡

【中图分类号】 R541.4

【文献标志码】 A

【DOI】 10.11915/j.issn.1671-5403.2021.07.112

Role of p53 signaling pathway in myocardial ischemia/reperfusion injury in rats pretreated with *Scutellaria barbata* flavonoids

YU Miao, LI Tie-Cheng*

(Department of Anesthesiology, Third Affiliated Hospital of Jinzhou Medical University, Jinzhou 121000, Liaoning Province, China)

【Abstract】 Objective To investigate the protective effect of *Scutellaria barbata* flavonoids (SBF) on myocardial ischemia/reperfusion injury (MI/RI) model and its underlying mechanism. **Methods** Fifty female SD rats randomly divided into 5 groups, with 10 rats in each group, that is, sham operation group (sham group), MI/RI group, and low-, middle- and high-dose SBF groups (30, 75 and 140 mg/kg SBF respectively). The rat MI/RI models were established by ligating left anterior descending coronary arteries. Serum contents of creatine kinase isoenzyme-MB (CK-MB) and lactate dehydrogenase (LDH) were detected by enzyme linked immunosorbent assay (ELISA). The myocardial infarct area was measured using NBT staining. The protein levels of p53, Caspase-3, B-cell lymphoma-2 (Bcl-2) were detected by Western blot. The apoptosis rate of cardiomyocytes was measured by terminal-deoxynucleotidyl transferase mediated nick end labeling (TUNEL). SPSS statistics 25.0 software was used for statistical analysis. One-way ANOVA was employed for inter-group comparisons. **Results** Compared with the MI/RI group, the low-, middle- and high-dose groups had obviously decreased serum contents of LDH [(807.51±30.74) vs (724.24±44.88) vs (568.63±40.49) vs (448.52±49.67) U/L] and CK-MB [(106.58±7.99) vs (92.45±4.88) vs (79.47±6.71) vs (70.51±5.88) U/L], protein levels of p53 [(1.19±0.05) vs (1.06±0.03) vs (1.02±0.03) vs (0.77±0.03)] and Caspase-3 (1.50±0.05) vs (1.01±0.05) vs (0.96±0.04) vs (0.41±0.04)], area of myocardial infarct (37.21% vs 27.45% vs 16.08% vs 8.00%) and cardiomyocytes apoptosis rates (43.82% vs 35.91% vs 32.01% vs 22.67%) ($P<0.01$, $P<0.05$), but significantly increased expression levels of Bcl-2 [(1.02±0.04) vs (1.37±0.08) vs (1.42±0.04) vs (1.62±0.04)] ($P<0.01$). **Conclusion** SBF preconditioning can inhibit the apoptosis pathway induced by p53 signaling pathway, and play a protective effect against MI/RI.

收稿日期: 2021-01-03; 接受日期: 2021-02-05

基金项目: 辽宁省自然科学基金项目(20170540372)

通信作者: 李铁成, E-mail: litiecheng777@163.com

【Key words】 myocardial reperfusion injury; *Scutellaria barbata* flavonoids; p53; cell apoptosis

This work was supported by the Natural Science Foundation of Liaoning Province (20170540372).

Corresponding author: LI Tie-Cheng, E-mail: litiecheng777@163.com

冠状动脉再通技术的普及使心肌梗死患者的生存率大幅提升,但缺血心肌恢复灌注后所引发的额外损伤,即心肌缺血/再灌注损伤 (myocardial ischemia/reperfusion injury, MI/RI),又可导致先前存活的心肌组织损伤加重,降低患者的生存质量^[1]。MI/RI 是多因素参与的复杂病理生理过程,多项研究证实,细胞凋亡在此过程中扮演着重要的角色^[2-4]。最新研究表明,转录因子 p53 可有效调节线粒体通透性转换孔 (mitochondrial permeability transition pore, mPTP) 的开放,并通过凋亡信号通路激活调控因子完成转录或直接在线粒体膜上与 B 淋巴细胞瘤-2 蛋白 (B-cell lymphoma-2, Bcl-2) 家族蛋白相互作用而诱导细胞凋亡^[5,6],导致组织细胞损伤。

半枝莲总黄酮 (*Scutellaria barbata* flavonoids, SBF) 是从半枝莲中提取的黄酮类化合物。研究表明,SBF 具有抗肿瘤、抗病毒、解热、保肝、抗氧化及免疫调节等多种功效,并可使神经细胞的凋亡降低^[7-9],具有极大的研究及应用价值。本研究通过探讨 SBF 在 MI/RI 中的作用并分析其可能的作用机制,从而进一步明确 SBF 的器官保护作用。

1 材料与方法

1.1 实验动物

SPF 级健康雌性 SD 大鼠 50 只,体质量 (230±20) g,由锦州医科大学动物实验中心提供。

1.2 主要试剂与设备

SBF(陕西森元生物科技有限公司,中国);氯化硝基四氮唑蓝 (nitroblue tetrazolium, NBT)(苏州海恒生物医药有限公司,中国);乳酸脱氢酶 (lactate dehydrogenase, LDH)、肌酸激酶同工酶 (creatine kinase isoenzyme, CK-MB) 检测试剂盒(上海泽叶生物科技有限公司,中国);Bcl-2、β-肌动蛋白 (β-actin)一抗和二抗(上海博湖生物科技有限公司,中国);BCA (bicinchoninic acid) 蛋白浓度检测试剂盒(北京百奥莱博科技有限公司,中国);p53 蛋白、半胱氨酸天冬氨酸蛋白水解酶-3 (Caspase-3) 检测试剂盒(北京盛科博源生物科技有限公司,中国);原位末端标记法 (terminal-deoxynucleotidyl transferase mediated

nick end labeling, TUNEL) 检测、核蛋白提取试剂盒(亚科因公司,中国)。呼吸机 DH-105、床边监护仪 BSM-7105K(浙江大学医学仪器厂,中国);超声波破碎仪 VCX-130(美国 Sonics 公司,美国);生物显微镜 DM500、切片机 RM2235、烤片机 KPJ-435(徕卡,德国);Enduro™ VE10 垂直电泳系统(莱伯特公司,美国)、化学发光凝胶成像系统 FluorChem E(Alpha 公司,美国);低速自动平衡离心机 Ldz4-1.2(北京雷勒尔离心机有限公司,中国);其他由锦州医科大学基础药理学实验室提供。

1.3 实验分组

将 50 只 SD 大鼠按照随机数表法随机分为 5 组,每组 10 只。(1)假手术组;(2)MI/RI 组;(3)低剂量组(SBF 30 mg/kg);(4)中剂量组(SBF 75 mg/kg);(5)高剂量组(SBF 140 mg/kg)。实验动物术前均用普通饲料及饮用水饲养,采用灌胃方式对低、中、高剂量组的 30 只大鼠给予对应剂量的 SBF,1 次/d,连续 1 周。

1.4 MI/RI 模型建立

术前禁食 12 h,不禁水。20% 乌拉坦 (150 mg/kg) 腹腔注射麻醉后仰卧位固定于实验台上,连接心电图机,行气管插管,连接呼吸机(潮气量 2 ml/100 g,频率 60 次/min,吸呼比 1:3)。沿胸骨左缘 3、4 肋间,剪开皮肤,钝性分离肌肉组织,开胸,暴露心包,剔除心包膜。假手术组只穿线不结扎处理,其余 4 组均在左冠状动脉前降支发出 2 mm 处,用 5-0 手术缝合线进行结扎,立即可见心电图 ST 段抬高,30 min 后减掉结扎线,恢复血液灌注并维持再灌注 60 min。再灌注后 ST 段回落 50% 即造模成功。

1.5 采集标本

造模完成后,立刻从颈总动脉取血并将心脏完整摘除。动脉血放置室温静置 30 min,离心 (3 000 转/min,10 min),将血清置于 EP 管内,标记后存放至 -80℃ 冰箱保存备用待检。各组随机选取 5 个心脏组织,将心脏分为两部分,一部分固定于 4% 多聚甲醛溶液内,4℃ 冰箱保存;另一部分置于 -80℃ 冰箱内待检。各组中剩余的 5 个心脏组织,保留左心室,剔除其余组织,放置于 -20℃ 冰箱中冷冻 1 h 待检。

1.6 检测实验指标

1.6.1 酶联免疫吸附试验测定 LDH 和 CK-MB 取离心后的血清,加样,滴加对应试剂,封板,37℃温育30 min,洗板5次,添加显色剂,避光孵育15 min,加入终止液,酶标仪比色。

1.6.2 心肌梗死面积测定 将-20℃冰箱冷冻1 h后的心肌组织取出,沿心肌带走形切成5个等厚的5 mm切片,0.5% NBT溶液37℃水浴浸染30 min。NBT染色后,暗紫色区域为正常心肌,砖红色或灰白色区域为梗死心肌。测量心肌梗死面积采用Image-Pro Plus 6.0软件。心肌梗死面积(%)=梗死部分面积/总心肌面积×100%。

1.6.3 Western blot 检测蛋白表达 取出保存于-80℃冰箱内心肌组织,融化,剪碎,提取核蛋白,BCA试剂盒检测蛋白定量。电泳,转膜,封闭,洗膜。加入Bcl-2(1:2000)及β-actin(1:5000)一抗孵育,4℃过夜,加入羊抗兔IgG(1:5000)二抗,增强化学发光成像。Image J软件行条带灰度值分析,计算目标蛋白表达量。p53、Caspase-3抗体检测同前。

1.6.4 TUNEL染色 将固定于4%多聚甲醛中的心肌组织行脱水、透明、包埋、切割,制成石蜡切片。行TUNEL染色,二甲苯脱蜡、梯度乙醇脱水、磷酸盐缓冲溶液(phosphate buffer saline,PBS)漂洗、暗湿盒孵育、洗涤、二氨基联苯胺(3,3'-diaminobenzidine,DAB)避光显色、苏木素复染,光镜下观察,拍照。采用Image-Pro Plus 6.0软件计算凋亡率。细胞凋亡率=凋亡细胞个数/总细胞个数×100%。

1.7 统计学处理

采用SPSS 25.0软件进行统计分析。计量资料采用均数±标准差($\bar{x}\pm s$)表示,多组间比较采用单因素方差分析(ANOVA)。 $P<0.05$ 为差异有统计学意义。

2 结果

2.1 各组血清 LDH、CK-MB 的含量比较

与假手术组比较,MI/RI组、SBF各剂量组LDH和CK-MB含量均明显增加($P<0.01$);与MI/RI组比较,SBF各剂量组LDH和CK-MB含量显著下降($P<0.01$);与SBF低剂量组比较,中、高剂量组LDH、CK-MB含量显著下降($P<0.01$);与SBF中剂量组比较,高剂量组LDH、CK-MB含量下降($P<0.01$ 或 $P<0.05$;表1)。

表 1 各组 LDH 和 CK-MB 含量比较

Table 1 Comparison of LDH and CK-MB between each group
(n=10, U/L, $\bar{x}\pm s$)

Group	LDH	CK-MB
Sham	247.29±17.16	39.74±3.59
MI/RI	807.51±30.74*	106.58±7.99*
Low dose	724.24±44.88**#	92.45±4.88**#
Middle dose	568.63±40.49**#△	79.47±6.71**#△
High dose	448.52±49.67**#△▲	70.51±5.88**#△☆

LDH: lactate dehydrogenase; CK-MB: creatine kinase isoenzyme-MB; MI/RI: myocardial ischemia/reperfusion injury. Compared with sham group, * $P<0.01$; compared with MI/RI group, ** $P<0.01$; compared with low dose group, △ $P<0.01$; compared with middle dose group, ☆ $P<0.05$, ▲ $P<0.01$.

2.2 各组心肌梗死的面积比较

假手术组均为暗紫色,无明显梗死发生。与假手术组比较,MI/RI组心肌梗死面积显著增加(0.80%和37.21%, $P<0.01$);与MI/RI组比较,SBF各剂量组均有明显红染梗死灶,SBF低、中、高剂量组梗死面积呈剂量依赖性显著下降(27.45%和16.08%和8.00%, $P<0.01$ 或 $P<0.05$;图1)。

2.3 各组 p53、Caspase-3、Bcl-2 蛋白的表达比较

与假手术组比较,MI/RI组p53和Caspase-3表达显著上调,Bcl-2表达显著下调($P<0.01$),SBF各剂量组p53和Caspase-3表达升高($P<0.01$ 或 $P<0.05$),Bcl-2表达下降($P<0.01$);与MI/RI组比较,SBF低、中、高剂量组p53和Caspase-3表达显著下调,Bcl-2表达显著上调($P<0.01$);与SBF低剂量组比较,中剂量组p53、Caspase-3和Bcl-2表达差异无统计学意义($P>0.05$),高剂量组p53和Caspase-3表达明显下调,Bcl-2表达上调($P<0.01$);与SBF中剂量组比较,高剂量组p53和Caspase-3表达大幅减低,Bcl-2表达大幅上升($P<0.01$;图2)。

2.4 各组心肌细胞凋亡比较

与假手术组比较,MI/RI组心肌细胞凋亡率明显上升(15.10%和43.82%, $P<0.01$),SBF各剂量组细胞凋亡率也显著增加($P<0.01$);与MI/RI组比较,SBF低、中、高剂量组细胞凋亡率呈剂量依赖性下降(35.91%、32.01%和22.67%, $P<0.05$, $P<0.01$;图3,4)。

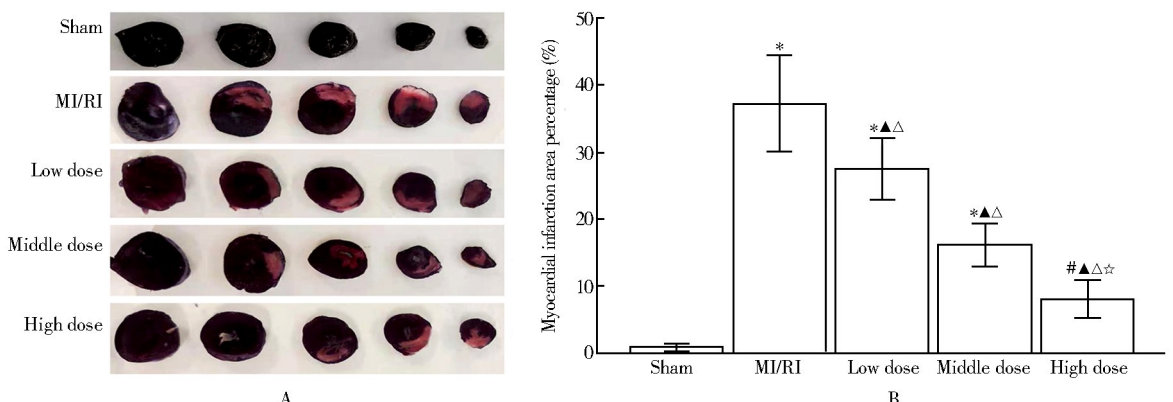


图1 各组心肌梗死的面积比较

Figure 1 Comparison of myocardial infarction area between each group ($n=5$)

A: NBT staining; B: quantitative analysis results. NBT: nitroblue tetrazolium; MI/RI: myocardial ischemia/reperfusion injury. Compared with sham group, $\#P<0.05$, $*P<0.01$; compared with MI/RI group, $\triangle P<0.01$; compared with low dose group, $\blacktriangle P<0.01$; compared with middle dose group, $\star P<0.01$.

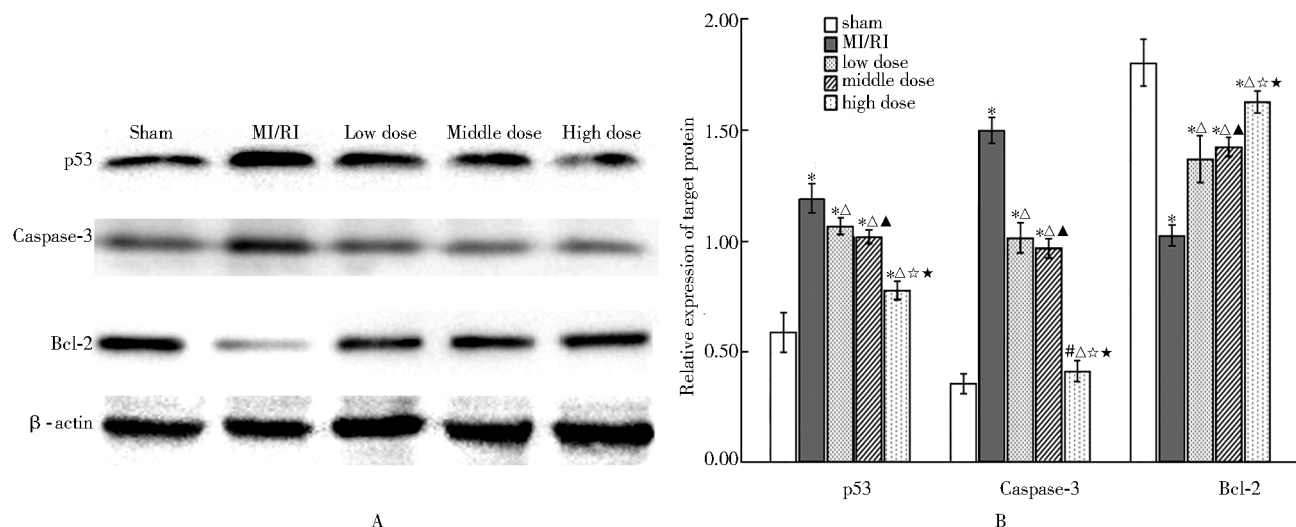


图2 各组p53、Caspase-3、Bcl-2蛋白的表达比较

Figure 2 Comparison of p53, Caspase-3 and Bcl-2 proteins expression between each group ($n=5$)

A: Western blot; B: quantitative analysis results. MI/RI: myocardial ischemia/reperfusion injury.

Compared with sham group, $\#P<0.05$, $*P<0.01$; compared with MI/RI group, $\triangle P<0.01$; compared with low dose group, $\blacktriangle P>0.05$, $\star P<0.01$; compared with middle dose group, $\star P<0.01$.

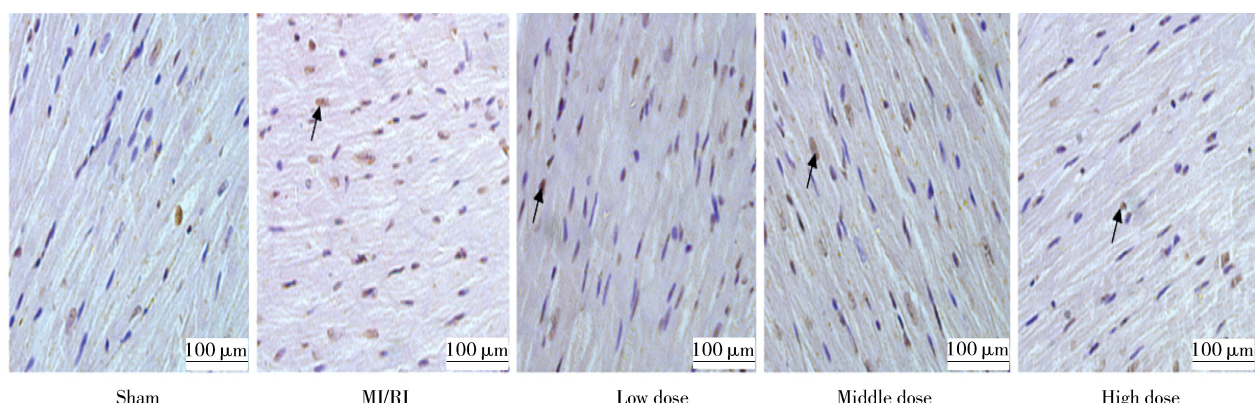


图3 各组心肌细胞凋亡TUNEL染色结果

Figure 3 TUNEL staining results of myocardial cell apoptosis between each group

TUNEL: terminal-deoxynucleotidyl transferase mediated nick end labeling; MI/RI: myocardial ischemia/reperfusion injury.

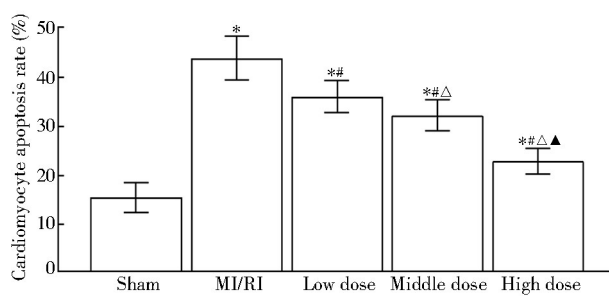


图4 各组心肌细胞凋亡率比较

Figure 4 Comparison of myocardial cell apoptosis rate between each group ($n=5$)

TUNEL: terminal-deoxynucleotidyl transferase mediated nick end labeling; MI/RI: myocardial ischemia/reperfusion injury. Compared with sham group, * $P<0.01$; compared with MI/RI group, ** $P<0.01$; compared with low dose group, △ $P<0.05$; compared with middle dose group, ▲ $P<0.01$.

3 讨论

再灌注损伤时,多因素协同作用使蛋白酶活性变化,细胞膜的通透性升高,影响心肌细胞代谢的关键蛋白酶 LDH 和 CK-MB 从胞浆入血,使其在血清中的含量升高,故常作为敏感指标反映心肌细胞受损程度^[10,11]。同时,相关蛋白的表达也随心肌损伤发生复杂变化,调控细胞凋亡。p53 蛋白从内源性途径启动细胞凋亡,激活 Bcl-2 家族蛋白,促使线粒体释放细胞色素 C,进一步激活 Caspase-3,引发级联反应,诱导细胞凋亡^[12-15]。

SBF 的主要成分为野黄芩苷,研究证实,在肿瘤治疗及脑损伤保护中具有抑制细胞凋亡作用^[16,17]。本实验结果显示,SBF 对心肌缺血/再灌注损伤具有一定的保护功效。LDH 和 CK-MB 含量、梗死面积及细胞凋亡率均能显著证实 SBF 的保护作用。与假手术组比较,MI/RI 组 p53 和 Caspase-3 表达水平上调,Bel-2 下调,说明在 MI/RI 时可能发生了由 p53 介导的 Caspase-3 凋亡途径,诱导相应细胞凋亡;相比于 MI/RI 组,SBF 各剂量组 p53、Caspase-3 和 Bcl-2 蛋白表达变化明显,且高剂量组 p53、Caspase-3 和 Bcl-2 蛋白变化显著,可能与 SBF 预处理抑制 p53 表达诱导的细胞凋亡途径有关。

综上,半枝莲的活血化瘀功效在心脑血管疾病治疗中具有独特优势,但其有效化学成分复杂,目前的研究热点依旧是有效成分的分析和提取。本实验表明,SBF 可抑制由 p53 通路诱导的细胞凋亡途径,产生心肌保护功效。同时,MI/RI 发病机

制较多,并且各通路间相互协同,目前对其具体保护机制尚不能明确。本实验仅从 p53 信号通路角度,探讨 SBF 与 MI/RI 的关系,其具体机制还需进一步论证。

【参考文献】

- Panagiotou A, Trendelenburg M, Osthoff M. The lectin pathway of complement in myocardial ischemia/reperfusion injury — review of its significance and the potential impact of therapeutic interference by C1 esterase inhibitor [J]. Front Immunol, 2018, 9: 1151. DOI: 10.3389/fimmu.2018.01151.
- Paradies G, Paradies V, Ruggiero FM, et al. Mitochondrial bioenergetics and cardiolipin alterations in myocardial ischemia-reperfusion injury: implications for pharmacological cardioprotection [J]. Am J Physiol Heart Circ Physiol, 2018, 315 (5): H1341-H1352. DOI: 10.1152/ajpheart.00028.2018.
- Wu MY, Yang GT, Liao WT, et al. Current mechanistic concepts in ischemia and reperfusion injury [J]. Cell Physiol Biochem, 2018, 46(4): 1650-1667. DOI: 10.1159/000489241.
- Li J, Hu HP, Li Y, et al. Influences of remifentanil on myocardial ischemia-reperfusion injury and the expressions of Bax and Bcl-2 in rats [J]. Eur Rev Med Pharmacol Sci, 2018, 22 (24): 8951-8960. DOI: 10.26355/eurrev_201812_16665.
- Yano T, Abe K, Tanno M, et al. Does p53 inhibition suppress myocardial ischemia-reperfusion injury? [J]. J Cardiovasc Pharmacol Ther, 2018, 23 (4): 350-357. DOI: 10.1177/10742484-18763612.
- Xu T, Ding W, Ao X, et al. ARC regulates programmed necrosis and myocardial ischemia/reperfusion injury through the inhibition of mPTP opening [J]. Redox Biol, 2019; 20: 414-426. DOI: 10.1016/j.redox.2018.10.023.
- Chen Q, Rahman K, Wang SJ, et al. *Scutellaria barbata*: a review on chemical constituents, pharmacological activities and clinical applications [J]. Curr Pharm Des, 2020, 26 (1): 160-175. DOI: 10.2174/138161282566191216124310.
- 张立波,姚袁媛,王清勇,等.半枝莲总黄酮调控 RIP1/RIP3 通路减轻急性脑梗死缺血再灌注大鼠大脑皮层神经元的损伤[J].中医学报,2020,35(7): 1476-1484. DOI: 10.16368/j.issn.1674-8999.2020.07.331.
Zhang LB, Yao YY, Wang QY, et al. *Scutellaria barbata* total flavonoids regulating RIP1/RIP3 pathway to reduce the damage of cerebral cortex neurons in rats with acute cerebral infarction and ischemia reperfusion [J]. China J Chin Med, 2020, 35(7): 1476-1484. DOI: 10.16368/j.issn.1674-8999.2020.07.331.
- 李娜,王平,孙铁锋,等.半枝莲化学成分、药理作用及质量控制研究进展[J].中国中药杂志,2020,45(21): 5117-5128. DOI: 10.19540/j.cnki.cjcm.20200806.601.

- Li N, Wang P, Sun TF, et al. Research progress on chemical constituents, pharmacological action and quality control of *Scutellaria barbata*[J]. China J Chin Mater Med, 2020, 45(21): 5117–5128. DOI: 10.19540/j.cnki.cjcm.20200806.601.
- [10] Lim CC, van Gaal WJ, Testa L, et al. With the "universal definition," measurement of creatine kinase-myocardial band rather than troponin allows more accurate diagnosis of periprocedural necrosis and infarction after coronary intervention[J]. J Am Coll Cardiol, 2011, 57(6): 653–661. DOI: 10.1016/j.jacc.2010.07.058.
- [11] Parhamifar L, Andersen H, Moghimi SM. Lactate dehydrogenase assay for assessment of polycation cytotoxicity[J]. Methods Mol Biol, 2019, 1943: 291–299. DOI: 10.1007/978-1-4939-9092-4_18.
- [12] Guo W, Zhang Y, Ling Z, et al. Caspase-3 feedback loop enhances Bid-induced AIF/endoG and Bak activation in Bax and p53-independent manner[J]. Cell Death Dis, 2015, 6 (10): e1919. DOI: 10.1038/cddis.2015.276.
- [13] D'Arcy MS. Cell death: a review of the major forms of apoptosis, necrosis and autophagy[J]. Cell Biol Int, 2019, 43(6): 582–592. DOI: 10.1002/cbin.11137.
- [14] Anzell AR, Maizy R, Przyklenk K, et al. Mitochondrial quality control and disease: insights into ischemia-reperfusion injury[J]. Mol Neurobiol, 2018, 55(3): 2547–2564. DOI: 10.1007/s12035-017-0503-9.
- [15] Wang Y, Yuan Y, Wang X, et al. Tiliarin post-conditioning attenuates myocardial ischemia/reperfusion injury via mitochondrial protection and inhibition of apoptosis[J]. Med Sci Monit, 2017, 23: 4490–4499. DOI: 10.12659/msm.903259.
- [16] 沈宏友, 刘世钊, 陈晓敏, 等. 半枝莲总黄酮对大鼠脑缺血再灌注损伤的保护作用[J]. 中医学报, 2019, 34(3): 545–550. DOI: 10.16368/j.issn.1674-8999.2019.03.129.
- Shen HY, Liu SZ, Chen XM, et al. Protective effect of total flavonoids of *Scutellaria barbata* on cerebral ischemia-reperfusion injury in rats[J]. China J Chin Med, 2019, 34(3): 545–550. DOI: 10.16368/j.issn.1674-8999.2019.03.129.
- [17] Chen M, Wang JT, Wu ZN, et al. Effect of total flavonoids in *Scutellaria barbata* in mediating autophagy in tumor cells via PI3K/AKT/mTOR pathway[J]. Chin J Chin Mater Med, 2017, 42(7): 1358–1364. DOI: 10.19540/j.cnki.cjcm.20170222.003.

(编辑: 郑真真)

· 消息 ·

《中华老年多器官疾病杂志》“临床病理讨论”栏目征稿

临床病理讨论(Clinicopathological Conference, CPC)是临床实践中的一个重要环节,是多个学科合作对患者进行个体化诊治的一种形式,尤其对于一些疑难和罕见病例更为重要。综合患者的临床表现、实验室检查、影像学检查和病理检查等各项结果,一方面可以明确疾病的诊断并制定治疗方案,使患者受益,另一方面亦有利于为临床医师提供更好的经验和更开阔的思路,提高医师的诊疗能力。一篇好的临床病理讨论,往往是教科书上找不到的活教材,也是其他文体难以取代的好形式。

“临床病理讨论”一直以来都是本刊的一个特色栏目,深受广大读者喜爱。所刊登的一般多为回顾性的病例讨论与总结,旨在总结经验、吸纳教训和传播知识。在工作实践中,我们根据广大读者和作者的建议,对临床病理讨论文章的格式进行了调整。(1)作者在文题下署名(而非仅在文末注明由何人整理),作者拥有本文的著作权。(2)文章正文为中文,正文前有言简意赅的中英文摘要。论文性质等同于本刊“论著”。(3)所选病例可以是疑难、罕见病例,也可以是诊断明确、但病情危重或有诸多并发症、治疗上甚为棘手的病例,亦可为其他对临床实践有指导或提示意义的病例。

本刊热忱欢迎广大专家学者为本刊撰写或推荐相关稿件。

具体格式请参考本刊近期发表的“临床病理讨论”文章。

地址: 100853 北京市复兴路28号《中华老年多器官疾病杂志》编辑部

电话: 010-66936756

网址: www.mode301.cn

E-mail: zhlndqg@mode301.cn